

Aus dem Brechungsgesetz folgt mit

$$\sin \varphi = \sin \left(\frac{\pi}{2} - \chi \right) = \cos \chi$$

$$\rightarrow \tan \chi_B = n_2 / n_1$$

Der Winkel, der diese Beziehung erfüllt heißt
Polarisationswinkel oder Brewster Winkel χ_B .

Die reflektierte Welle ist dann \perp auf
Einfallsebene polarisiert

→ Erzeugung lin. polarisierter Lichts.

(Anschaulich: Da reflektierter Strahl \perp
auf gebrochenen Strahl und Abstrahlung
der schwingenden Dipole transversal zu seiner
Schwingungsrichtung erfolgt keine Energieabgabe
für in der Einfallsebene erfolgte Ausbreitung.)

tige isotrope Körper.
 l aufeinander senkrecht (s.
 $\sin \psi = \sin \left(\frac{\pi}{2} - \varphi \right) = \cos \varphi$:
 3t *Polarisationswinkel* oder
 ON DAVID BREWSTER (1781

rt, so wird die parallel zur
 ischen Vektors ausgelöscht.
 „in der Einfallsebene“, wie
 erten Lichts bezeichnet man
 gels, durch den die lineare
 Definition ist also nicht der
 „Polarisation“ bestimmend;
 r zweifellos der physikalisch
 n am besten den Begriff der
 ichtung und ersetzt ihn
 r Schwingungsrichtung (des
 Vektors).

te nicht mehr zweifelhafte
 der Geschichte der Optik
 Gegenstand von Meinungs-
 iten gewesen. Zur Zeit der
 ichtorie war in der Tat
 ht in dem Sinne entscheide-
 e, wo wir uns auf die be-
 rungen des elektrischen und
 Feldes berufen können. So
 zu dem Ergebnis, daß die
 hvingungen des Äthers senk-
 Polarisationsebene erfolgen,
 NZ NEUMANN sie als parallel
 im. Sie machten nämlich
 der Ätherbewegung; bei
 denen Medien verschieden,
 mgekehrt. In Wahrheit ist
 Einleitung erläutert wurde,
 ngen verletzen, um das
 zu vermeiden.

ück, so können wir uns den
 machen, indem wir uns vor-
 Welle im zweiten Medium
 , deren Richtung durch den
 st. Diese Elektronenschwin-
 die erste Medium zurück-
 ear schwingendes Elektron
 det keine Energieabgabe in
 d der reflektierte Strahl auf
 ür die Schwingung parallel
 Strahl erhält keine Energie

Die Fig. 10 stellt für Glas den Verlauf der Intensität des reflektierten Lichts als Funktion des Einfallswinkels φ dar¹. Dieser ist am unteren Rande der Figur einer Gradskala aufgetragen; am oberen Rande stehen die entsprechenden Werte des Brechungswinkels. Die Kurve I stellt r_s , die Kurve II $\frac{1}{2}(r_s + r_p)$, die Kurve III r_p dar; man bemerkt die Stelle der Kurve III, die dem Polarisationswinkel $56^\circ 40'$ entspricht, ein Winkel, dessen Tangens gerade $n = 1,52$ beträgt.

Die Kurve II zeigt die Intensität des reflektierten Lichts für den Fall, daß das einfallende Licht linear unter 45° gegen die p - oder s -Richtung polarisiert ist. Betrachten wir nämlich allgemein linear polarisiertes Licht von der Amplitude A , bei dem die Schwingungsrichtung von \mathcal{E}^a den Winkel α gegen die p -Richtung bildet, so ist

(10) $A_p = A \cos \alpha, \quad A_s = A \sin \alpha.$

Ist A die Lichtstärke des einfallenden Bündels, so hat man

(11) $A_p = A \cos^2 \alpha, \quad A_s = A \sin^2 \alpha.$

Die gesamte reflektierte Intensität läßt sich also schreiben:

$R_\alpha = R_p + R_s = \left(\frac{R_p}{A_p} \cos^2 \alpha + \frac{R_s}{A_s} \sin^2 \alpha \right) A,$

und hieraus folgt $R_\alpha = R_\perp \sin^2 \alpha + R_\parallel \cos^2 \alpha$

(12) $r_\alpha = \frac{R_\alpha}{A} = r_p \cos^2 \alpha + r_s \sin^2 \alpha;$

Entsprechendes gilt für das gebrochene Licht. Für $\alpha = \pi/4$ hat man wegen $\cos^2 \frac{\pi}{4} = \sin^2 \frac{\pi}{4} = \frac{1}{2}$ gerade die durch Kurve II dargestellte Funktion

(13) $r_{\frac{\pi}{4}} = \frac{1}{2}(r_p + r_s).$

Dieselbe Kurve stellt auch das Verhalten von natürlichem Licht bei Reflexion dar. Man kann nämlich natürliches Licht auffassen als polarisiertes Licht mit unregelmäßig schwankendem Polarisationszustand. Man erhält also die Intensität durch Mittelung über den Winkel α . Da die Mittelwerte von $\cos^2 \alpha$ und $\sin^2 \alpha$ gleich $\frac{1}{2}$ sind, so wird für natürliches Licht

(14) $\bar{A}_p = \bar{A}_s = \frac{1}{2} A,$

aber:

(15) $\left\{ \begin{aligned} \bar{R}_p &= \frac{1}{2} \frac{\bar{R}_p}{\bar{A}_p} A = \frac{1}{2} r_p A, \\ \bar{R}_s &= \frac{1}{2} \frac{\bar{R}_s}{\bar{A}_s} A = \frac{1}{2} r_s A. \end{aligned} \right.$

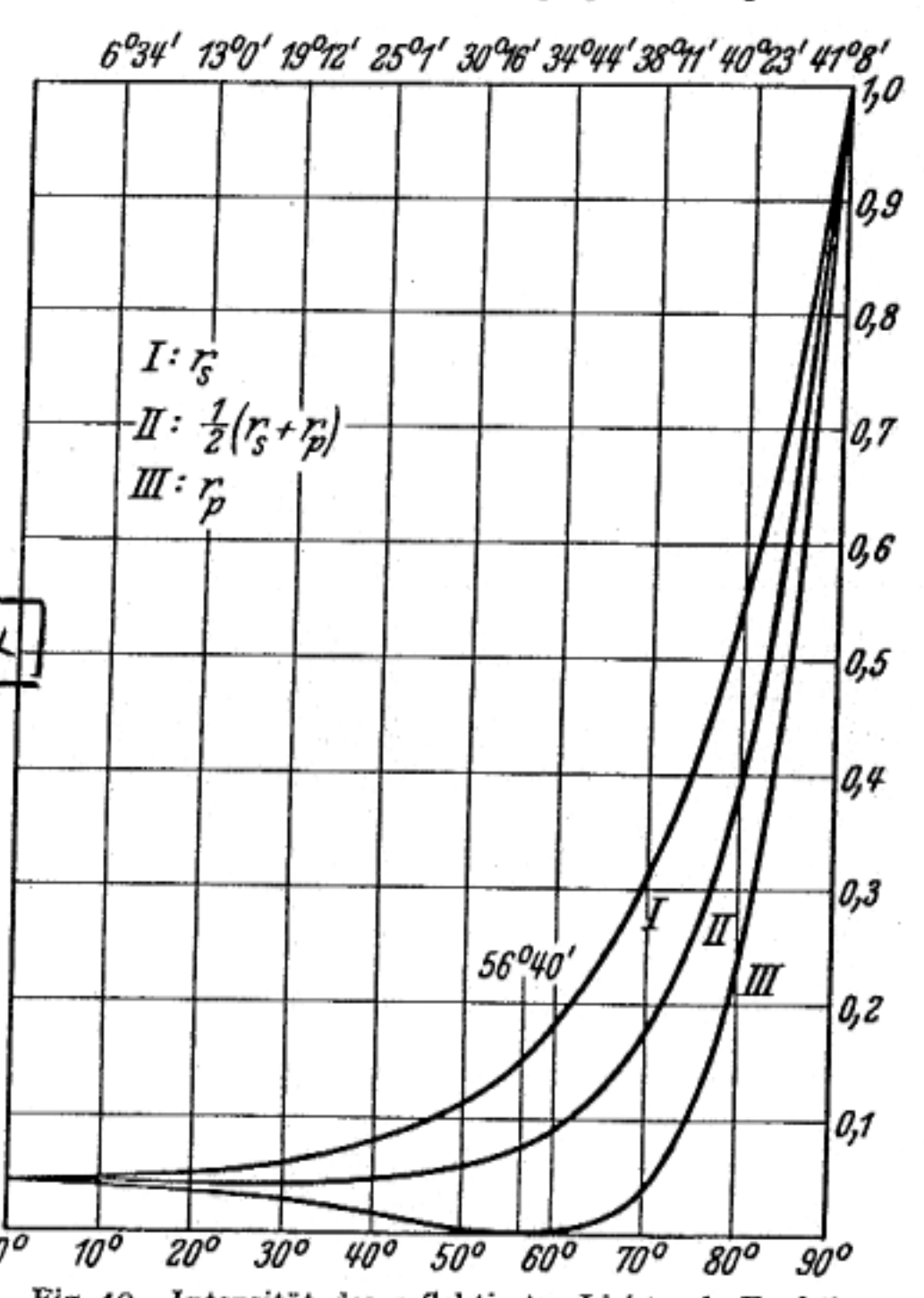


Fig. 10. Intensität des reflektierten Lichts als Funktion des Einfallswinkels. (Nach CHWOLSON: Lehrb. d. Physik, 2. Aufl. 1922.)

¹ Aus O. D. CHWOLSON: Lehrbuch der Physik, 2. Aufl., Bd. II 2 S. 716. Braunschweig 1922.

Born, Optik.

$\left(\begin{array}{l} s = \perp \\ p = \parallel \end{array} \right) \quad \left. \begin{array}{l} r_s \rightarrow R_\perp \\ r_p \rightarrow R_\parallel \end{array} \right\}$

aus M. BORN, OPTIK, SPRINGER VERLAG

Die Ebene der Lichtschwingung wird also durch Reflexion an der Einfallsebene weg , durch Brechung zu ihr hingedreht

Fig am BORN

$$n = 1,52$$

$$\alpha = 45^\circ$$

Im reflektierten Licht sind also die beiden Komponenten nicht mehr gleich, man sagt dann, das reflektierte Licht sei *partiell* polarisiert, und nennt

$$(16) \quad \frac{\bar{R}_p - \bar{R}_s}{A} = \frac{1}{2}(r_p - r_s)$$

den *polarisierten Anteil*. Das Reflexionsvermögen des gesamten aus natürlichem durch Reflexion entstehenden Lichts ist gegeben durch

$$(17) \quad \bar{r} = \frac{\bar{R}}{A} = \frac{\bar{R}_p + \bar{R}_s}{A} = \frac{1}{2}(r_p + r_s),$$

also wieder durch die Kurve II.

Entsprechende Betrachtungen gelten für den gebrochenen Strahl. Insbesondere hat man bei natürlichem Licht

$$(18) \quad \bar{r} + \bar{d} = 1.$$

Wir kehren nun wieder zu linear polarisiertem Licht zurück. Ist das einfallende Licht linear polarisiert, so gilt dasselbe für das reflektierte und gebrochene, da die Phasen sich nur um 0 oder π ändern. Wohl

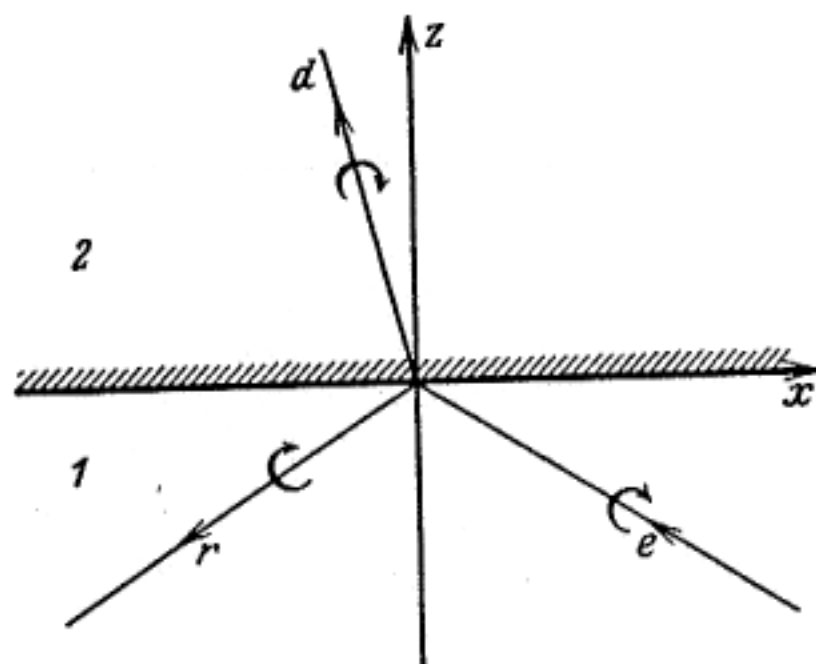


Fig. 11. Zur Vorzeichenbestimmung des Azimuts der Polarisation.

aber wird die Schwingungsrichtung (oder die „Polarisationsebene“) im reflektierten und gebrochenen Strahl gegen die im einfallenden gedreht sein. Man bezeichnet den Winkel zwischen Schwingungs- und Einfallsebene als das *Azimuth* der Schwingung und zählt dieses positiv bei Rechtsdrehung um die Fortpflanzungsrichtung (Fig. 11).

Es sei α das Azimuth der einfallenden, ϱ das der reflektierten, δ das der gebrochenen Welle man kann diese Winkel auf den Bereich $-\pi/2$ bis $\pi/2$ beschränken. Es ist

$$(19) \quad \operatorname{tg} \alpha = \frac{A_s}{A_p}, \quad \operatorname{tg} \varrho = \frac{R_s}{R_p}, \quad \operatorname{tg} \delta = \frac{D_s}{D_p}.$$

Aus den FRESNELSchen Formeln § 10 (14), (15) ergibt sich:

$$(20) \quad \begin{cases} \operatorname{tg} \varrho = -\frac{\cos(\varphi - \psi)}{\cos(\varphi + \psi)} \cdot \operatorname{tg} \alpha, \\ \operatorname{tg} \delta = \cos(\varphi - \psi) \cdot \operatorname{tg} \alpha. \end{cases}$$

Wegen $0 \leq \varphi \leq \pi/2$, $0 \leq \psi \leq \pi/2$ folgt

$$\begin{aligned} |\operatorname{tg} \varrho| &\geq |\operatorname{tg} \alpha|, \\ |\operatorname{tg} \delta| &\leq |\operatorname{tg} \alpha|, \end{aligned}$$

wo das Gleichheitszeichen in der oberen Ungleichung nur für senkrechte und streifende Inzidenz ($\varphi = \psi = 0$ bzw. $\varphi = \psi = \pi/2$) gilt, in der unteren Ungleichung nur für senkrechte Inzidenz. Die Ebene der Lichtschwingung wird also durch Reflexion von der Einfallsebene weg, durch Brechung zu ihr hingedreht. Den Verlauf¹ von ϱ und δ zeigt die Fig. 12 für $n = 1,52$ und $\alpha = 45^\circ$.

Man sieht, daß für den Polarisationswinkel $\varphi = 56^\circ 40'$ gerade $\varrho = 90^\circ$ wird; in der Tat wird für $\varphi + \psi = \pi/2$ nach (20) $\operatorname{tg} \varrho = \infty$, also $\varrho = \pi/2$ unabhängig von α .

¹ Nach O. D. CHWOLSON: Lehrbuch der Physik, 2. Aufl., Bd. II 2 S. 716.

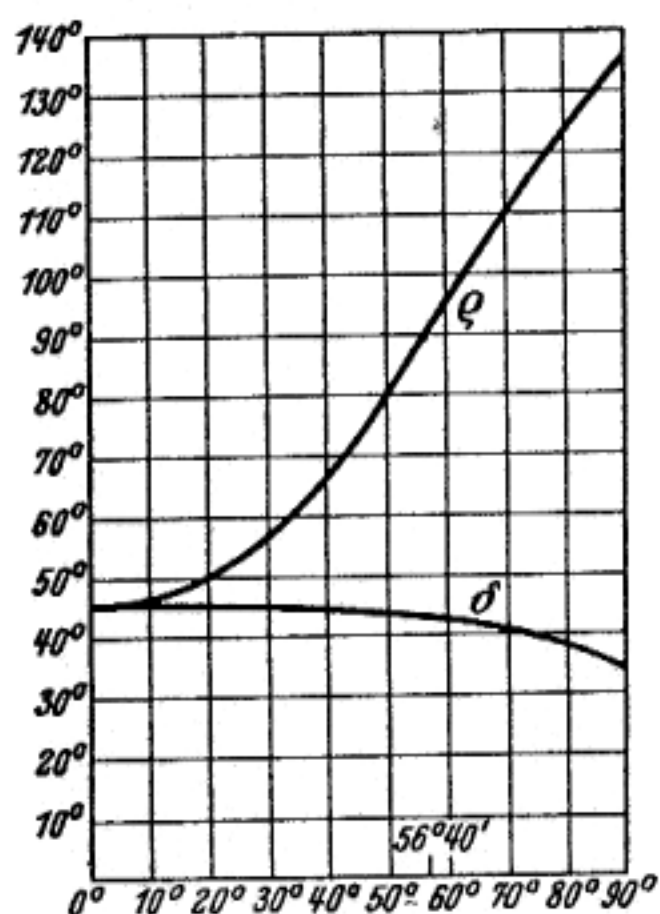


Fig. 12. Azimut der reflektierten und der gebrochenen Welle als Funktion des Einfallswinkels. (Nach CHWOLSON: Lehrb. d. Physik, 2. Aufl. 1922.)

Totalreflexion

Fall $\frac{n_2}{n_1} < 1$, man also von optisch dichteren in das optisch dünnere Medium übergeht, tritt ab einem Grenzwinkel

$$\sin \chi_G = \frac{n_2}{n_1} \quad (*)$$

Totalreflexion auf. Dann gilt $\varphi = 90^\circ$, das Licht tritt also „streifend“ aus. Für $\chi > \chi_G$ tritt überhaupt kein Licht mehr aus, sondern es wird umgedreht in das erste Medium zurückgeworfen. Trotzdem verdringt kein Weg das elem. Feld im zweiten Medium; nur strahlt keine Energie in diese über.

Wiederhole die Rechnung für $\chi > \chi_G$

Es gilt die Dispersionsrelation

$$n^2 \frac{\omega^2}{c^2} = p^2 + k^2$$

$$\rightarrow k^2 = n^2 \frac{\omega^2}{c^2} - p^2 = \left(\frac{n\omega}{c}\right)^2 (1 - \sin^2 \chi)$$

↑ Winkel im
äußeren Medium

Folglich

$$k_2^2 = \left(\frac{n_2 \omega}{c}\right)^2 - \left(\frac{n_2 \omega}{c}\right)^2 \sin^2 \varphi$$

$$(*) = \left(\frac{n_1 \omega}{c}\right)^2 \sin^2 \chi_G \quad \left(\frac{n_1 \omega}{c}\right)^2 \sin^2 \chi$$

$$= -n_1^2 \underbrace{(\sin \chi - \sin \chi_G)}_{> 0} \underbrace{(\sin \chi + \sin \chi_G)}_{> 0} < 0$$

$$\Rightarrow k_2 = \left(\pm\right) i k_0 \quad k_0 = \frac{\omega}{c} n_1 \sqrt{\sin^2 \chi - \sin^2 \chi_G}$$

keine physikalische Lösung
fall Medium 2 ∞ ausgedehnt!
Rein mathematische Lösung

Hieraus ergibt sich dann der Reflexionskoeff.

$$\tau_{\perp} = \frac{\kappa_1 - \kappa_2}{\kappa_1 + \kappa_2} = \frac{1 - \kappa_2/\kappa_1}{1 + \kappa_2/\kappa_1}$$

$$= \frac{\frac{\omega}{c} n_1 \cos \chi - i \frac{\omega}{c} n_1 \sqrt{\sin^2 \chi - \sin^2 \chi_G}}{\frac{\omega}{c} n_1 \cos \chi + i \frac{\omega}{c} n_1 \sqrt{\sin^2 \chi - \sin^2 \chi_G}}$$

$$\kappa_1 = \frac{\omega}{c} n_1 \cos \chi$$

$$= \frac{\cos \chi - i \sqrt{\sin^2 \chi - \left(\frac{n_2}{n_1}\right)^2}}{\cos \chi + i \sqrt{\sin^2 \chi - \left(\frac{n_2}{n_1}\right)^2}}$$

$$\tau_{\parallel} = \frac{\frac{n_2}{n_1} \kappa_1 - \frac{n_1}{n_2} \kappa_2}{\frac{n_2}{n_1} \kappa_1 + \frac{n_1}{n_2} \kappa_2} =$$

$$= \frac{\left(\frac{n_2}{n_1}\right)^2 \cos \chi - i \sqrt{\sin^2 \chi - \left(\frac{n_2}{n_1}\right)^2}}{\left(\frac{n_2}{n_1}\right)^2 \cos \chi + i \sqrt{\sin^2 \chi - \left(\frac{n_2}{n_1}\right)^2}}$$

$$\downarrow |\tau_{\parallel}| = |\tau_{\perp}| = 1$$

Die reflektierte Welle hat somit ein E -Feld der Stärke und Phase

$$E_r = \tau E_e$$

so dass man zusammen mit dem Phasenfaktor für die reflektierte Welle den Ausdruck

$$\tau E_e \exp[i\vec{k} \cdot \vec{x} - i\omega t]$$

$$= \tau E_e \exp[ipx - i\omega t] e^{-k_0 z}$$

erhält, also eine exponentielle z -Abnahme

abfallende Wellen. Die Größenordnung der Eindringtiefe in das optisch dünnere Medium ist durch $\frac{c}{\omega n_1}$ gegeben. Wegen der örtlich veränderlichen Amplitude nennt man solche Wellen „inhomogene Wellen“. Sie sind nicht transversal zur Ausbreitungsrichtung \vec{p} , da die x -Komponente des elektrischen Feldes nicht verschwindet (wenn $\vec{E}_e \parallel$ Einfallsebene).

Weiter ist zu beachten, dass r und t komplexe Größen sind und folglich Phasensprünge aufweisen. Wir berechnen diese für die einfallende und reflektierte Welle.

$$e^{-i\delta} = r = \frac{z}{z^*} = \frac{e^{-i\alpha}}{e^{+i\alpha}} \quad ; \quad z \in \mathbb{C}$$

$$\Rightarrow \delta = 2\alpha$$

$$\tan \frac{\delta}{2} = \tan \alpha = \begin{cases} \frac{\sqrt{\sin^2 \chi - \left(\frac{n_2}{n_1}\right)^2}}{\left(\frac{n_2}{n_1}\right)^2 \cos \chi} & \parallel \\ \frac{\sqrt{\sin^2 \chi - \left(\frac{n_2}{n_1}\right)^2}}{\cos \chi} & \perp \end{cases}$$

Die beiden Komponenten erfahren also unterschiedliche Phasensprünge. Daher wird linear polarisiertes Licht durch Totalreflexion in polarisiertes Licht verwandelt.

$$\delta = \delta_{\parallel} - \delta_{\perp}$$

$$\tan \frac{\delta}{2} = \frac{\cos \chi \sqrt{\sin^2 \chi - \left(\frac{n_2}{n_1}\right)^2}}{\sin^2 \chi}$$

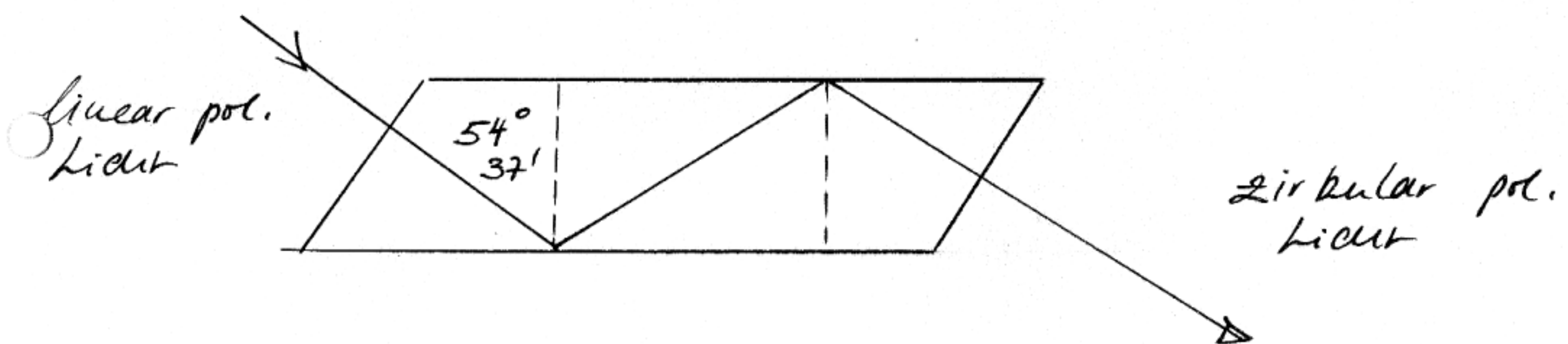
Dieser Ausdruck verschwindet für streifenden Einfall ($\chi = \pi/2$) und für den Grenzwinkel der Totalreflexion χ_0 , $\sin \chi_0 = \frac{n_2}{n_1}$. Zwischen diesen Winkeln liegt ein Maximum der relativen Phasendifferenz bei

$$\sin^2 \varphi_{\max} = \frac{2(n_2/n_1)^2}{1 + (n_2/n_1)^2}$$

Hierzu gehört $\tan(\delta_{\max}/2) = \frac{1 - \left(\frac{n_2}{n_1}\right)^2}{\left(\frac{n_2}{n_1}\right)^2}$ (*)

Es kann sich also umso größere Phasendifferenzen erreichen, je kleiner $\frac{n_2}{n_1}$ ist.

Umwandlung von linear pol. Licht in zirkular pol. Licht \rightarrow Fresnel Parallelepiped.



Wähle das Azimut des einfallenden Strahls zu $\alpha = 45^\circ$. Dann gilt $|E_e^{\parallel}| = |E_e^{\perp}|$ und folglich wegen $|r_{\parallel}| = |r_{\perp}| = 1$ auch $|E_r^{\parallel}| = |E_r^{\perp}|$.

Dann wähle man $\frac{n_2}{n_1}$ und den Einfallswinkel χ so, daß die Phasendifferenz δ gleich 90° wird.

Um die nur einer einzelnen Reflexion zu erreichen, müsste man (*)

$$\tan \frac{\pi}{4} = 1 < \frac{1-n^2}{2n} \quad (n \equiv n_2/n_1)$$

also $n_2/n_1 < \sqrt{2} - 1 = 0,414$ sein.

n_1/n_2 müsste also 2,41 betragen, ein Wert, der alleine von Diamant erreicht wird.

Daher benutzt Fresnel zwei Totalreflex.
an Glas; für $n_1/n_2 = 1,51$ wird der Einfallswinkel der maximalen Phasendifferenz $\delta_m = 45^\circ 56'$

Bei $\chi = 51^\circ 20'$ erreicht, kann kaum also gerade noch $\delta_m = 45^\circ$ erreichen und zwar für die Winkel

$$\chi = 48^\circ 37' \quad \text{und} \quad \chi = 54^\circ 37'$$

Durch zweimalige Totalreflexion unter einem dieser Winkel erhöht man dann eine Phasendifferenz von 90° .

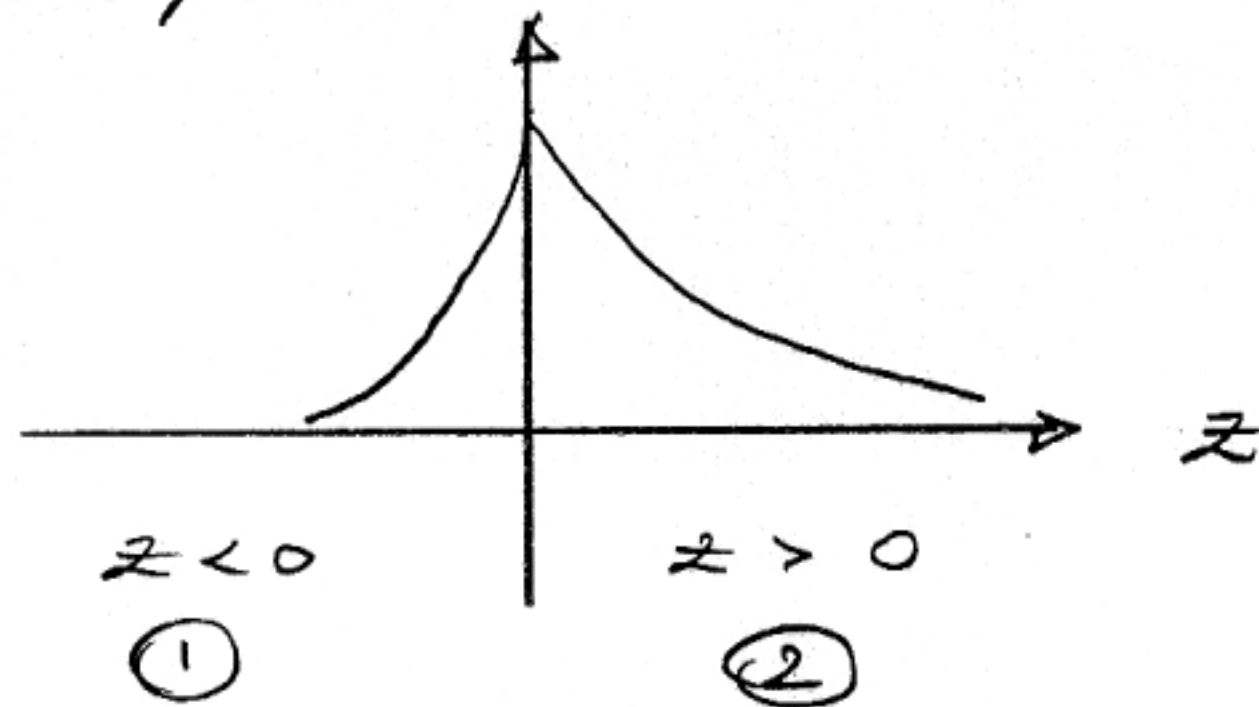
Man kann natürlich damit auch elliptisch polarisiertes Licht herstellen oder den Vorgang umkehren und aus elliptisch pol. Licht linear pol. Licht erzeugen.

5.5. Oberflächenwellen (Evaneszente Wellen)

Wir suchen nach Lösungen der Maxwelltheorie, die auf beiden Seiten der Grenzfläche exponentiell abklingen, also von der Form sind

$$\vec{F}_\alpha \propto \vec{p} \cdot e^{i(\vec{p} \cdot \vec{x} - \omega t)} e^{\pm \kappa_{1,2} \cdot z} \quad \left(\begin{array}{l} + \text{ für } z < 0 \\ - \text{ für } z > 0 \end{array} \right)$$

mit $\text{Re } \kappa_{1,2} > 0$, so daß die Wellen für $z \rightarrow \pm \infty$ abfallen.



Wir legen OBDA \vec{p} wieder in x-Richtung ($\vec{p} = (p, 0, 0)$), und betrachten Medium 1 und 2 gemeinsam, indem wir definieren

$$\vec{k} = (\vec{p}, -i\kappa)$$

$$\kappa = \kappa_1 \quad \text{für } z < 0 \quad (\text{Gebiet 1})$$

$$\kappa = -\kappa_2 \quad \text{für } z > 0 \quad (\text{Gebiet 2})$$

Damit gilt

$$e^{i\vec{k} \cdot \vec{x}} = \begin{cases} e^{ipx + \kappa_1 z} & ; z < 0 \\ e^{ipx - \kappa_2 z} & ; z > 0 \end{cases}$$

für den Phasenfaktor.

Als nächstes verwenden wir nun die Maxwellgleichungen (+ Randbedingungen) um die Dispersionsrelation zu finden. Wir beschränken uns

auf den Fall $\mu = 1$, aber zunächst allgemein
 DK's $\epsilon_{1,2}(\omega)$.

(i) Aus $\text{div } \vec{B} = 0$ folgt $\vec{k} \cdot \vec{B} = 0$,
 also $p B_x - i k B_z = 0$

$$B_z = \frac{p}{i k} B_x$$

(ii) Aus der Randbedingung daß sowohl die
 Normal- wie die Tangentialkomponente des
 B -Feldes stetig mit $\mu = 1$ folgt

$$B_x^{(1)} = B_x^{(2)} \equiv b$$

$$B_z^{(1)} = \frac{p}{i k_1} b = B_z^{(2)} = -\frac{p}{i k_2} b$$

$$\Rightarrow \underbrace{(k_1 + k_2)}_{\neq 0} \cdot b = 0 \quad \wedge \quad b = 0$$

$$B_y^{(1)} = B_y^{(2)}$$

$$\rightarrow \boxed{\vec{B}^{(1)} = \vec{B}^{(2)} = (0, B, 0)} \quad (1)$$

ist unverändert beim Durchgang durch
 die Grenzfläche, liegt in der Grenzfläche
 und ist transversal zur Ausbreitungs-
 richtung der Oberflächenwelle, \vec{p} .

(iii) Aus dem Durchflutungsgesetz folgt ($\vec{J}_{\text{frei}} = 0$)

$$-i \frac{\omega}{c} \vec{D} = i \vec{k} \times \vec{B}$$

Mit $\vec{D} = \epsilon(\omega) \vec{E}$ und

$$\vec{k} \times \vec{B} = B \begin{vmatrix} 1 & 2 & 3 \\ p & 0 & -ik \\ 0 & 1 & 0 \end{vmatrix} = B (ik, 0, p)$$

folgt dann

$$\boxed{\epsilon(\omega) \vec{E} = -\frac{c B}{\omega} (ik, 0, p)}$$

oder für Medium 1 und 2 getrennt

$$\boxed{\varepsilon_{1,2}(\omega) \vec{E} = -\frac{cB}{\omega} (\pm ik_{1,2}, 0, \rho)} \quad (2)$$

Daraus lesen wir ab, daß das elektrische Feld nicht mehr transversal ist, da es sowohl eine Komponente $\perp \vec{p}$ als auch eine Komponente $\parallel \vec{p}$ besitzt. Die transversale und longitudinale Komponente der evaneszenten elektrischen Felder sind gegeneinander um $\frac{\pi}{2}$ phasenverschoben (Faktor i).

(iv) $\text{div } \vec{D} = 0$ führt auf $\vec{k} \cdot \vec{E} = 0$. Da $(\rho, 0, -ik) \cdot (ik, 0, \rho) = 0$ ist diese Bedingung bereits erfüllt.

(v) Faraday Induktionsgesetz: $\frac{i\omega}{c} \vec{B} = i \vec{k} \times \vec{E}$

$$\vec{k} \times \vec{E} = - \begin{vmatrix} 1 & 2 & 3 \\ \rho & 0 & -ik \\ ik & 0 & \rho \end{vmatrix} \frac{cB}{\varepsilon\omega} =$$

$$= -\frac{cB}{\varepsilon\omega} (0, -\rho^2 + k^2, 0)$$

$$\Rightarrow \frac{\omega}{c} \cdot B = \frac{cB}{\varepsilon \cdot \omega} (\rho^2 - k^2)$$

$$\Lambda \quad \boxed{\varepsilon(\omega) = \left(\frac{c}{\omega}\right)^2 (\rho^2 - k^2)} \quad (I)$$

jeweils getrennt für Medium 1 und 2

$$\boxed{\varepsilon_{1,2}(\omega) = \left(\frac{c}{\omega}\right)^2 (\rho^2 - k_{1,2}^2)} \quad (\varepsilon_{1,2})$$

(vi) Schließbild verwenden wir noch die Stetigkeitsforderungen an \vec{D} und \vec{E}

$$D_{\text{normale}} \text{ stetig} \Rightarrow D_z^{(1)} = D_z^{(2)}$$

ist bereits erfüllt wegen der Stetigkeit der Magnetfelder; vergleiche Gleichung (2)

$$E_{\text{tangential}} \text{ stetig} \Rightarrow E_x^{(1)} = E_x^{(2)}$$

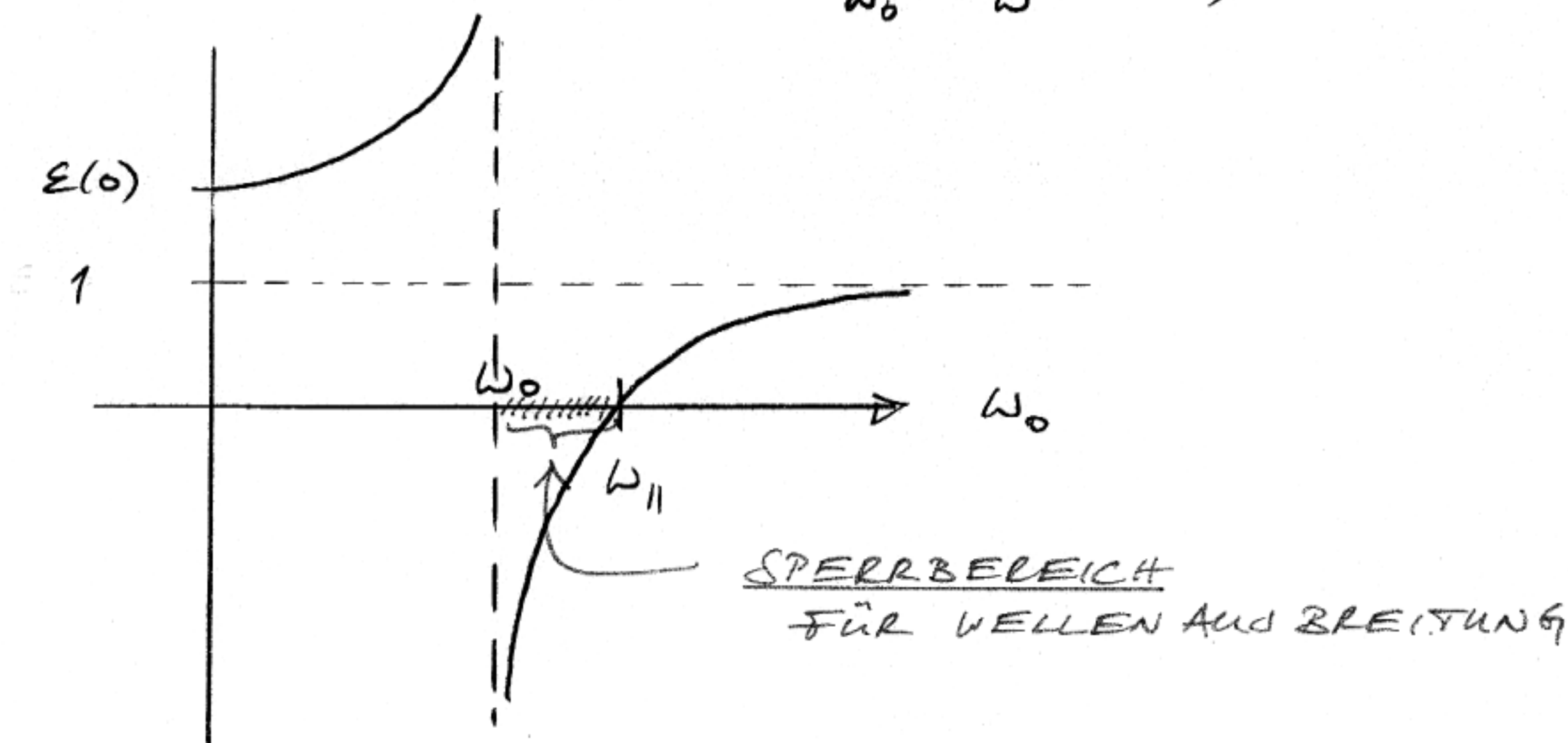
$$\text{(2)} \quad \left| \frac{\epsilon_1}{\kappa_1} = - \frac{\epsilon_2}{\kappa_2} \right| \quad (\text{II})$$

Die folgende Diskussion spezialisieren wir nun auf einfache Dielektrika (ohne Dämpfung) an der Grenzfläche zum Vakuum.

Dann

$$\epsilon_1 = 1, \quad \kappa_1 = \kappa > 0$$

$$\epsilon_2(\omega) = \epsilon(\omega) = \frac{\omega_{||}^2 - \omega^2}{\omega_0^2 - \omega^2}, \quad \text{mit } \omega_{||}^2 = \omega_p^2 + \omega_0^2$$



Im Bereich zwischen ω_0 und ω_p ist $\epsilon < 0$ und damit der Brechungsindex n im Medium 2 rein imaginär, so daß dort keine Wellenausbreitung möglich ist (\rightarrow Sperrbereich)

Wir studieren nun die Existenz und Art der Oberflächenwellen für einfache Dielektrika. Aus (II) folgt

$$\boxed{\kappa_2 = -\epsilon(\omega) \kappa}$$

Demnach ist $\kappa_2 > 0$ falls $\epsilon(\omega) < 0$, d.h. Oberflächenwellen sind genau dann eine mögliche Lösung der Maxwelltheorie, wenn Wellenausbreitung im Dielektrikum nicht möglich ist, also für

$$\boxed{\omega_0 < \omega < \omega_{11}}$$

Die Gleichungen (I_{1,2}) lauten

$$(I_1) \quad 1 = \left(\frac{pc}{\omega}\right)^2 - \left(\frac{\kappa c}{\omega}\right)^2$$

$$(I_2) \quad \epsilon = \left(\frac{pc}{\omega}\right)^2 - \epsilon^2 \left(\frac{\kappa c}{\omega}\right)^2$$

oder aufgelöst nach p und κ

$$\boxed{\begin{aligned} \left(\frac{pc}{\omega}\right)^2 &= \frac{\epsilon}{\epsilon+1} = \frac{1}{2} \frac{\omega_{11}^2 - \omega^2}{\omega_c^2 - \omega^2} & (\alpha) \\ \left(\frac{\kappa c}{\omega}\right)^2 &= -\frac{1}{\epsilon+1} = \frac{\omega^2 - \omega_0^2}{\omega_{11}^2 - \omega_0^2} & (\beta) \end{aligned}}$$

$$\text{wobei } \omega_c = \frac{1}{2} (\omega_0^2 + \omega_{11}^2) = \omega_0^2 + \frac{1}{2} \omega_p^2$$

Oberflächenwellen sind folglich nur dann lösbar, wenn

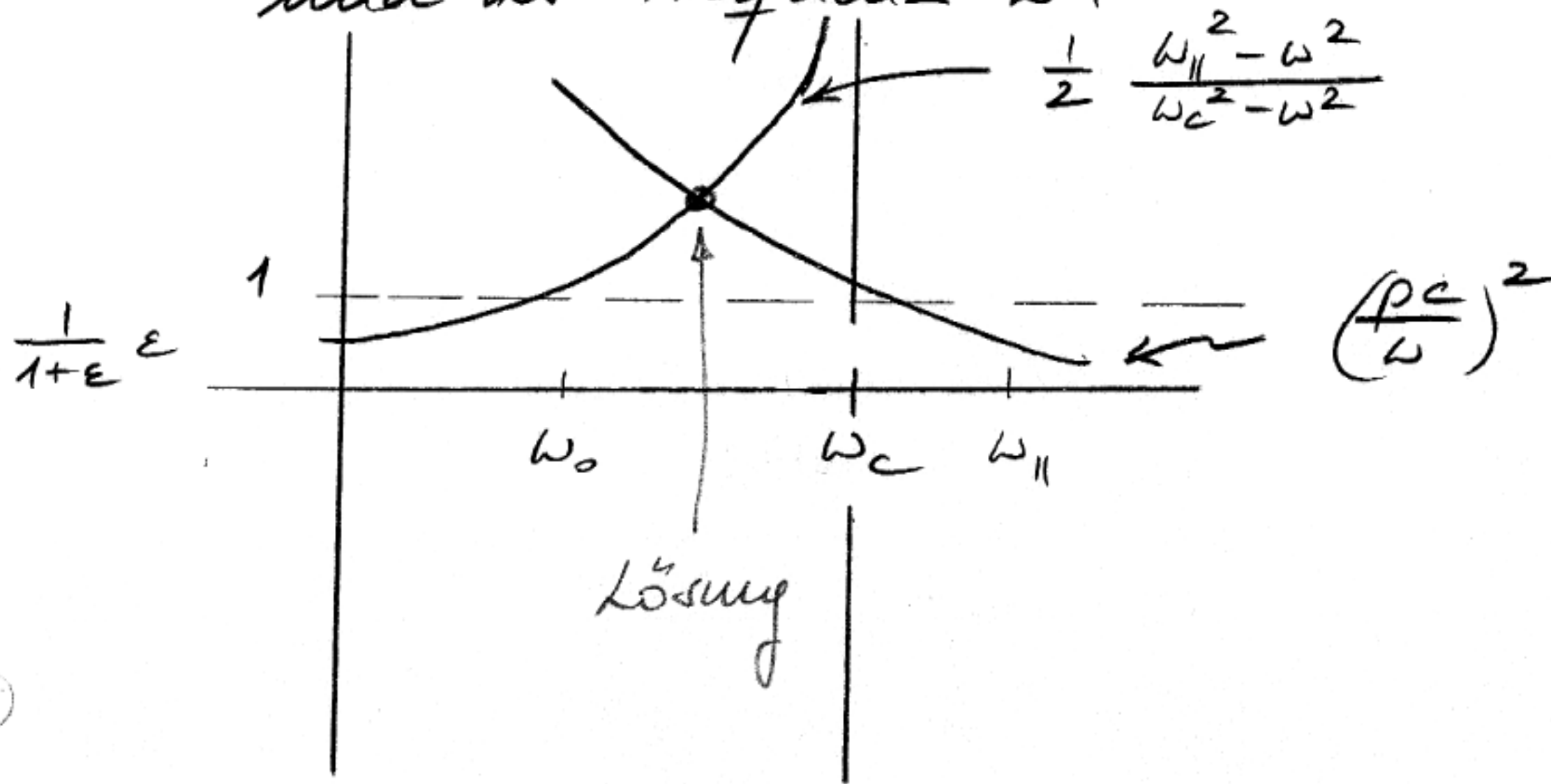
$$\boxed{\omega_0 < \omega < \omega_c}$$

Es gilt $p \rightarrow \infty$ für $\omega \rightarrow \omega_c$

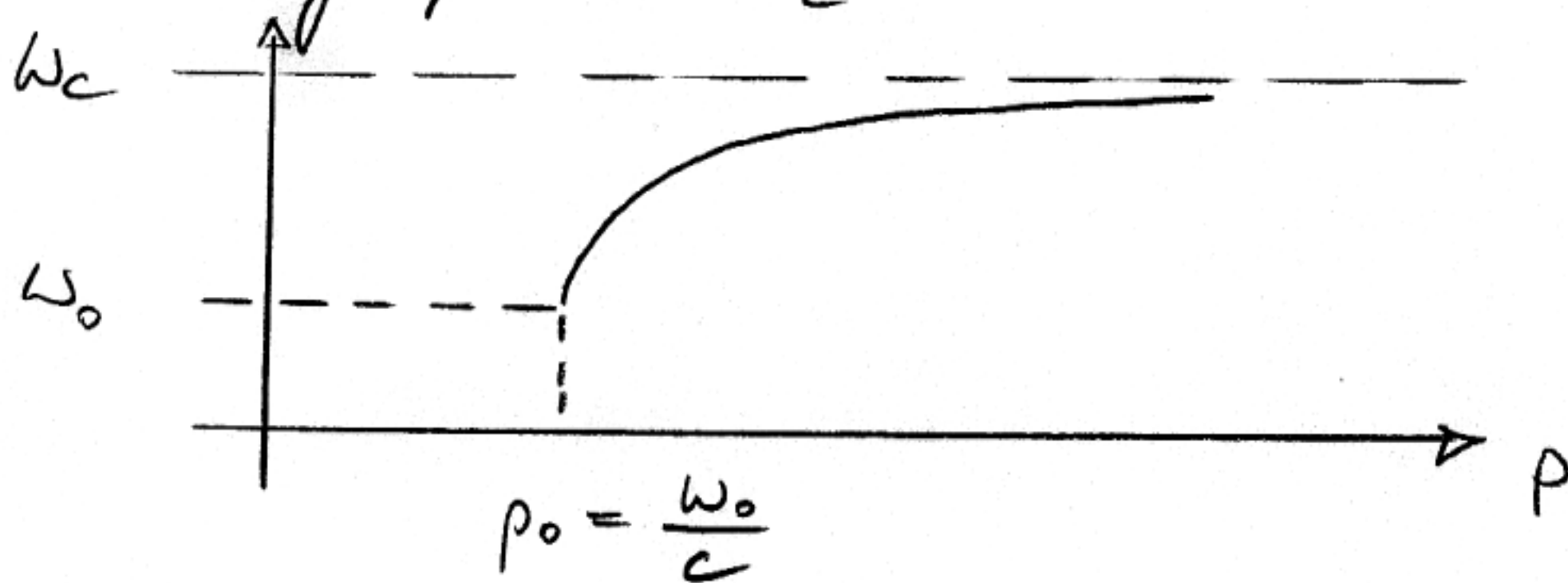
$p \rightarrow p_0$ für $\omega \rightarrow \omega_0$

$$\left(\frac{p_0 c}{\omega_0}\right)^2 = \frac{1}{2} \frac{\omega_p^2}{\frac{1}{2} \omega_p^2} = 1, \text{ d.h. } \boxed{p_0 = \frac{\omega_0}{c}}$$

Graphische Lösung von (A) ergibt die Dispersionsrelation $p = p(\omega)$ zwischen der Wellenzahl p in Ausbreitungsrichtung und der Frequenz ω .



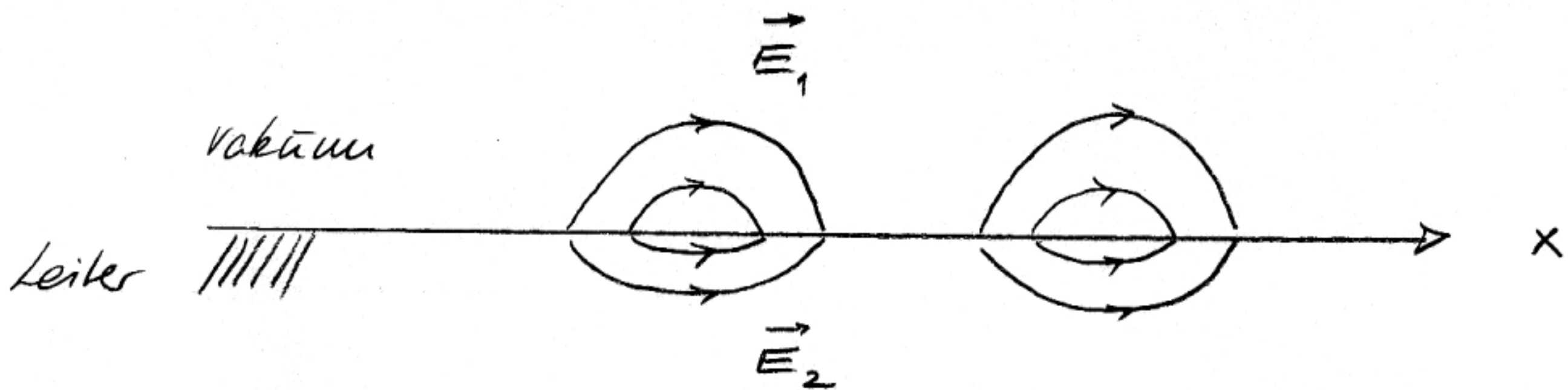
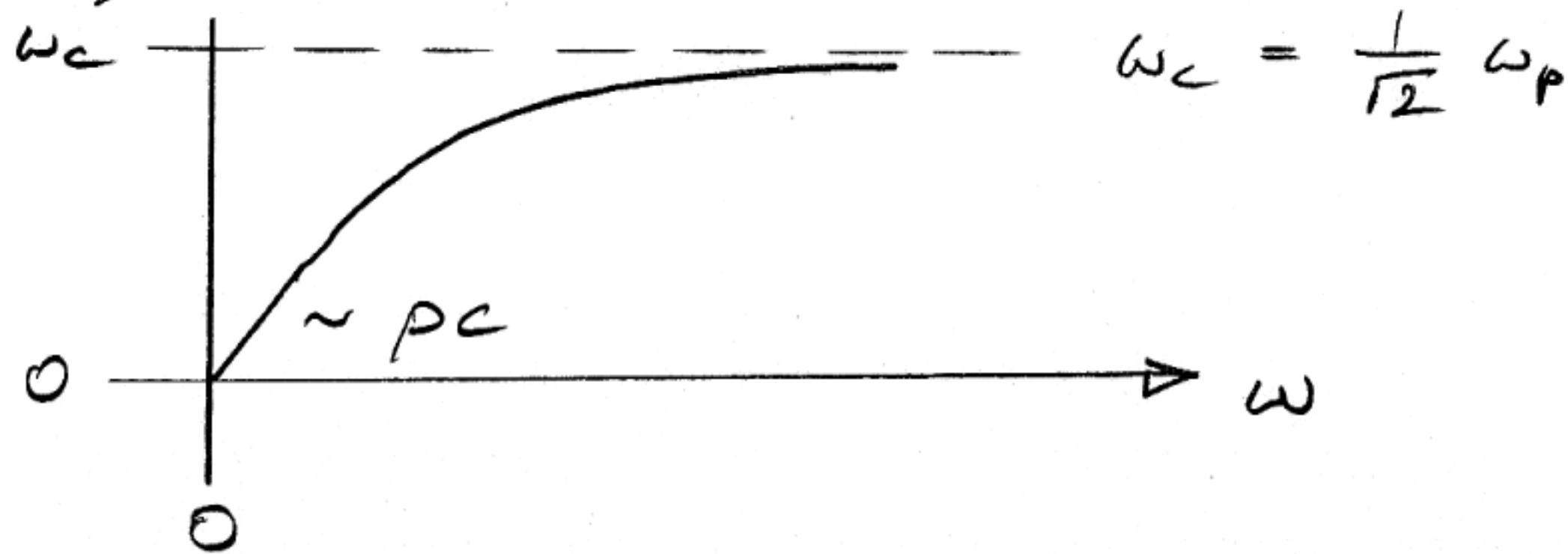
Die Lösung $\omega(p)$ steigt streng monoton mit wachsendem p , und hat die Asymptote ω_c .



Zusammenfassend haben wir festgestellt, daß Lösungen nur im Sperrgebiet von $\epsilon(\omega)$ existieren und daß die Wellenlängen hinreichend klein sein müssen: $p < p_0 = \omega_0/c$.

κ läßt sich dann aus (B) für gegebenes ω berechnen und κ^{-1} gibt dann die Tiefe der oberflächennahen Welle an.

Für Oberflächenplasmonen ($\omega_0 \rightarrow 0$) hat man $\rho_0 = 0$ und $\omega_c = \frac{1}{\sqrt{2}} \omega_p$. Oberflächenplasmonen existieren also für alle Wellenlängen. Ihre Dispersion bei kleiner ω ist linear.



E-Feld einer Oberflächenplasmonenwelle.